

پتـرولوژی، سال هفتم، شماره بیست و پنجم، بهار ۱۳۹۵، صفحه ۱۵۷-۱۷۵
تاریخ دریافت: ۱۳۹۳/۰۹/۱۵ تاریخ پذیرش: ۱۳۹۴/۰۳/۱۷

سنگ‌شناسی، ژئوشیمی و جایگاه تکتونیکی سنگ‌های آتشفسانی و توده‌های نفوذی ترسیری شمال شهر فیروزه (شمال شرقی ایران)

آزاده ملکزاده شفارودی *، محمد حسن کریمپور و آرزو زارعی

گروه پژوهشی اکتشاف ذخایر معدنی شرق ایران، دانشگاه فردوسی مشهد، مشهد، ایران

چکیده

منطقه مورد مطالعه در فاصله ۱۵ کیلومتری شمال شهر فیروزه در استان خراسان رضوی قرار دارد و در جنوب شرقی کمان ماغمایی ترسیری قوچان - سبزوار قرار دارد. زمین‌شناسی منطقه در بردارنده گذاره‌هایی با ترکیب داسیت است که توده‌های عمیق و نیمه‌عمیق به صورت استوک هورنبلند گرانودیوریت پورفیری و دایک گرانودیوریتی الیکوسن در آن نفوذ کرده‌اند. سنگ‌های آذرین با واحدهای رسوبی جوان‌تر پوشیده شده‌اند. بافت واحد داسیتی، پورفیری تا گلومرپورفیری، بیش‌تر با زمینهٔ جریانی است و کانی‌های کوارتز، پلازیوکلاز، آلكالی فلدسپار و هورنبلند مهم‌ترین سازنده‌های آن هستند. توده هورنبلند گرانودیوریت پورفیری، بافت پورفیری تا گلومرپورفیری دارد و کانی‌های کوارتز، پلازیوکلاز، آلكالی فلدسپار و هورنبلند را دربرمی‌گیرد، در حالی که توده گرانودیوریت، بافت گرانولار دارد و بدون هورنبلند است. بر اساس مطالعات ژئوشیمیایی، واحد آتشفسانی و توده‌های نفوذی اسیدی از نوع متاآلومینوس و پتاسیم متواته هستند و به گرانیتوییدهای نوع I متعلق هستند. غنی‌شدگی عناصر LREE و عناصر HFSE نسبت به HREE نسبت به LILE تشکیل مانگما را در پهنهٔ فروزانش تأیید می‌کند. مذاب آنها از ذوب‌بخشی آمفیبولیت گارنت‌دار (بین ۱۰ تا ۲۵ درصد) تشکیل شده است. مقادیر اکسیدهای اصلی، غنی‌شدگی عناصر LREE، ناهنجاری عمدتاً مثبت Eu، مقدار بالای Sr (بیش از ۴۹۹ گرم در تن) و مقدار کم Y (کمتر از ۱۳ گرم در تن) و Yb (کمتر از ۱/۴ گرم در تن) نشان می‌دهد که مانگما این توده‌ها ماهیت مانگماهای آداکیتی پرسیلیس را دارند. سنگ‌های نفوذی و آتشفسانی شمال شهر فیروزه احتمالاً از ذوب‌بخشی ورقه اقیانوسی فرورانده‌شده جوان و داغ نشوتیس سبزوار و گوئه گوشته‌ای روی آن در حاشیه قارهٔ توران تشکیل شده‌اند.

واژه‌های کلیدی: ژئوشیمی، گرانیتویید نوع I، شهر فیروزه، کمان ماغمایی قوچان - سبزوار، ایران

مقدمه

است (شکل ۱). این کمان ماغمایی با سنِ اؤسن تا پلیستوسن در افیولیت سبزوار و اطراف آن نفوذ کرده است و به سمت شمال تا کوه‌های البرز ادامه

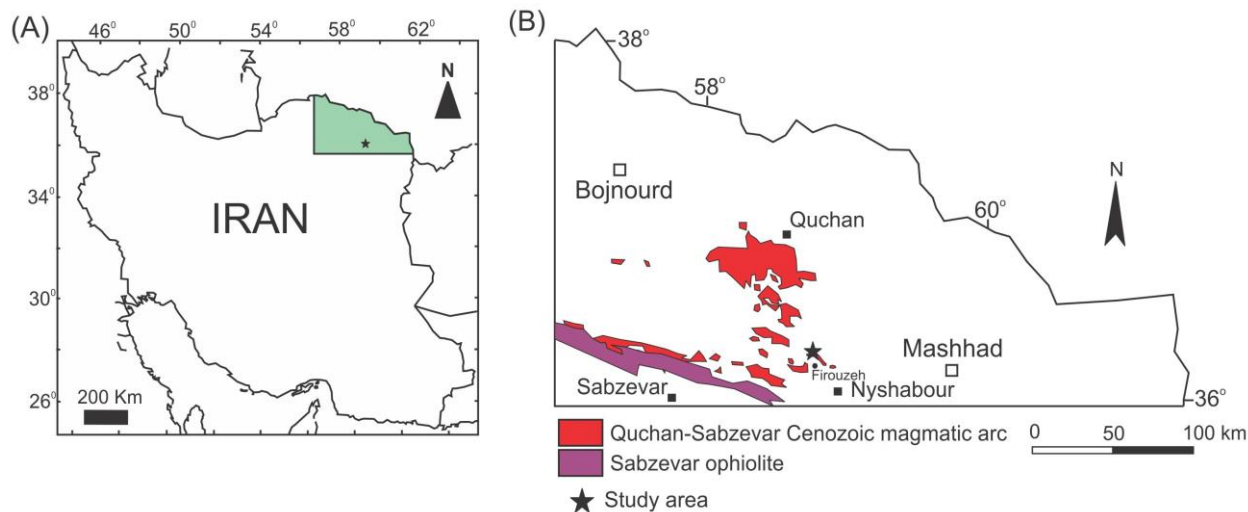
ناحیهٔ شهر فیروزه در جنوب شرقی کمان

ماگمایی سنوزوییک قوچان - سبزوار قرار گرفته

* shafaroudi@um.ac.ir

Copyright©2016, University of Isfahan. This is an Open Access article distributed under the terms of the Creative Commons Attribution License (<http://creativecommons.org/licenses/BY-NC-ND/4.0/>), which permits others to download this work and share it with others as long as they credit it, but they cannot change it in any way or use it commercially.

ذوببخشی ورقه اقیانوسی فرورانده شده جوان و داغ نئوتیس سبزوار و گوئه گوشتهای روی آن است. Nasrabadi (۲۰۱۱، ۲۰۱۳) نیز سنگهای تونالیتی - ترونجمیتی و دایکهای دیابازی داخل آنها را در منطقه سلطان‌آباد (شمال شرقی سبزوار) با ذوببخشی ورقه اقیانوسی فرورانده شده و تشکیل مذاب آدکیتی در اعماق یک پهنهٔ فرورانش داغ، مرتبط دانسته است. Jamshidi و همکاران (۲۰۱۴) گنبدهای آدکیتی پرسیلیس اتوسن فوقانی تا پلیوسن با ترکیب آندزیت تا ریولیت را در غرب و شمال غربی سبزوار با ذوببخشی یک سنگ منبع اکلوژیتی یا گارنت آمفیبولیتی حاصل از دگرگونی ورقه اقیانوسی فرورانده شده به زیر لبه جنوبی پهنهٔ البرز شرقی مرتبط کردند. منطقه مورد مطالعه در ۱۵ کیلومتری شمال شهر فیروزه و در مجاورت روستای خانلوق قرار دارد و میزبان کانی‌سازی آهن است (شکل ۱).



شکل ۱- (A) موقعیت جغرافیایی منطقه شمال فیروزه در شمال شرق ایران؛ (B) مجموعه آتشفسانی - نفوذی ترسیری بین سبزوار و قوچان (تصویر اولی تغییریافته از Sahandi و همکاران (۲۰۰۲)).

ژئوشیمی، پتروژنز و تعیین جایگاه تکتونیکی سنگهای آتشفسانی و نفوذی در گوشة جنوب شرقی کمان مagmaی قوچان - سبزوار است.

دارد (Alavi, 1991) و Spies (1983) بر اساس مطالعات همکاران (۱۹۸۳)، سنگهای آتشفسانی و نفوذی کمان به سه گروه سنگهای آذرین حد واسطه اتوسن، سنگهای اسیدی الیگوسن - پلیوسن و سنگهای آلکالن میوسن - پلیستوسن (آلکالی بازالت و شوشوونیت) تقسیم می‌شود. از لحاظ ژئوشیمیایی، دو گروه اول واحدهای آذرین (سنگهای اسیدی و حد واسطه) متاآلومینوس تا پرآلومینوس هستند و به سنگهای کالکآلکالن پتاسیم متواتر متعلق هستند، در حالی که گروه سوم که مقدار کمتری از این کمان را تشکیل داده‌اند، ماهیت متاآلومینوس و آلکالن پتاسیم بالا تا شوشوونیتی دارند. همه این واحدهای آذرین در یک پهنهٔ فرورانش تشکیل شده‌اند (Spies *et al.*, 1983). Ghasemi و همکاران (۲۰۱۰) نشان دادند سنگهای آتشفسانی نئوژن در جنوب قوچان، ماهیت مagmaتیسم آدکیتی غنی از سیلیکا دارند که محصول آخرین مذاب‌های حاصل از

هیچ گونه مطالعات قبلی درباره ویژگی‌های ژئوشیمیایی و پتروژنزی سنگهای آذرین این منطقه وجود ندارد. هدف از این مطالعه بررسی

ماسه‌سنگ هستند با دasicت و با یک مرز معمولی در برخی نقاط پوشیده شده‌اند که نشان می‌دهد سنگ‌های آذربین منطقه به پس از ائوسن مربوط هستند. بنابراین، بر اساس نقش زمین‌شناسی نیشاپور، سِنْ واحدهای آذربین، الیگو سن در نظر گرفته شده است. دasicت رنگ خاکستری روشن و بافت پورفیری دارد و در نمونه دستی تنها درشت‌بلورهای هورنبلند دیده می‌شود.

سنگ‌های نفوذی نیز در طول یک گسل به شکل دایک با روند شرقی - غربی در جنوب منطقه رخمنون دارند (شکل ۲). این واحدهای استوک هورنبلند گرانودیوریت پورفیری و دایک گرانودیوریتی هستند. رگه‌های کانی‌سازی آهن که از بحث پژوهش حاضر، خارج هستند، در واحد هورنبلند گرانودیوریت پورفیری تشکیل شده‌اند و موجب دگرسانی پروپلیتیک و کمتر آرژیلیک در سنگ‌های نفوذی و آتشفشانی اطراف خود شده‌اند. واحد هورنبلند گرانودیوریت پورفیری خاکستری رنگ (شکل ۳- B)، بافت پورفیری با زمینه دانه‌درشت دارد و حاشیه انجامد سریع در مرز آن دیده می‌شود، به‌طوری که به سمت داخل توده، بافت سنگ‌ها دانه‌درشت‌تر و رنگ آن روشن‌تر می‌شود. کوارتز، فلدسپارها و هورنبلند، کانی‌های درشت‌بلور آن را در نمونه دستی تشکیل می‌دهند. واحد گرانودیوریت به شکل دایکی کوچک در جنوب محدوده رخمنون دارد (شکل ۲). بافت آن در نمونه دستی گرانولار است و از کوارتز و فلدسپار تشکیل شده است.

مارن، سیلت استون و شیل‌های قرمزنگ (شکل ۳- A) با لنزهایی از ژیپس به سِنْ میوسن و به ضخامت ۱۵۰ تا ۲۰۰ متر روی سنگ‌های آذربین الیگو سن قرار دارند (شکل ۲). Ghaemi et al., ۱۹۹۸ و همکاران (۱۹۹۸) معتقدند که این رسوبات در یک محیط کولابی تهشین شده‌اند. ریخت‌شناسی پست و تپه ماهوری و رنگ ویژه این واحد در بین سنگ‌های آذربین خاکستری رنگ که ارتفاعات خشن منطقه را به وجود آورده‌اند، آنها را از یک‌دیگر کاملاً متمایز می‌کند (شکل ۳- A). آگلومرایی

بی‌شک همانند کمانهای ماقمایی دیگر، بررسی بخش‌های مختلف این کمان نیز می‌تواند برای درک فرایندهای درگیر در ذوب پوسته و گوشته در مناطق فرورانش مفید باشد. هم‌چنین، شناسایی جایگاه تکتونوماقمایی مناطق مختلف این کمان در اکتشاف ذخایرمعدنی وابسته به آنها نقش بهسزایی دارد.

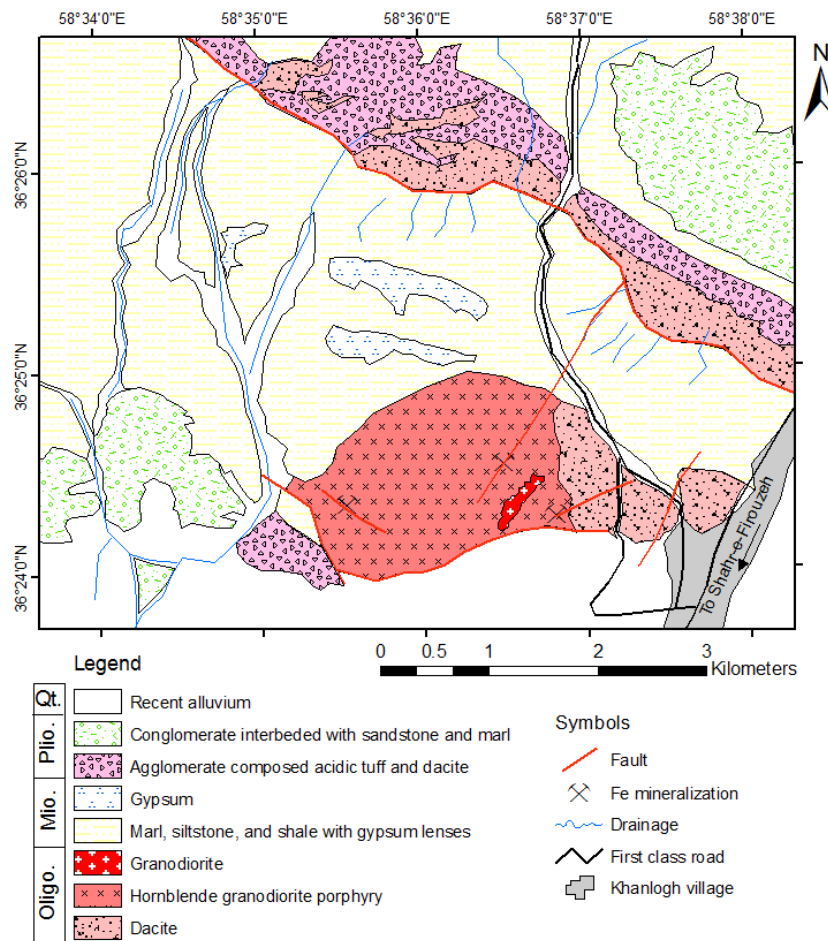
زمین‌شناسی منطقه

کمان ماقمایی سنوزوییک قوچان - سبزوار به عرض ۱۰۰ تا ۱۵۰ کیلومتر از شمال سبزوار تا جنوب قوچان و طول ۲۰۰ کیلومتر از فرومد تا نیشاپور ادامه دارد و در حاشیه شمالی خردقاره ایران مرکزی قرار دارد. فعالیت‌های ماقمایی این نوار آتشفشانی - نفوذی از ائوسن (حدود ۴۰ میلیون سال قبل) شروع شده است و تا پلیو - پلیستوسن (حدود ۲ میلیون سال قبل) ادامه داشته است (Spies et al., 1983). سِنْ سنگ‌های آذربین این کمان از ائوسن در جنوب (در نزدیکی افیولیت سبزوار) تا پلیو - پلیستوسن به سمت شمال (جنوب قوچان) تغییر می‌کند.

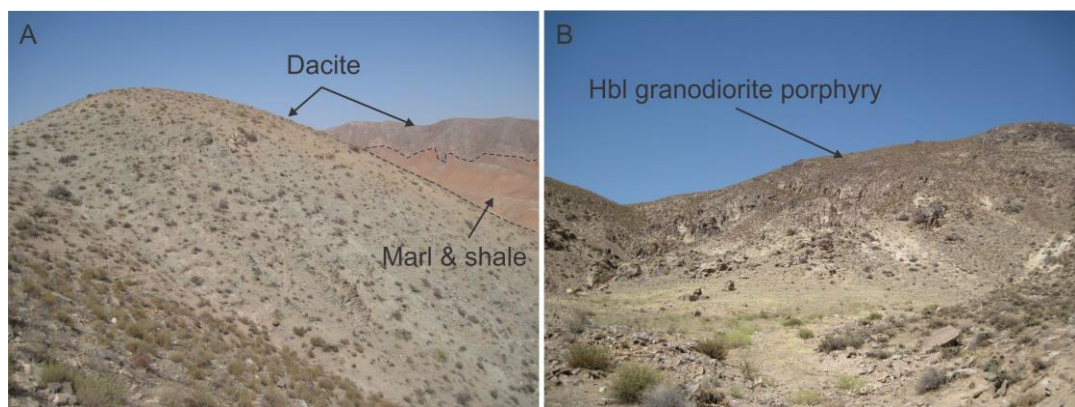
منطقه مورد مطالعه که در جنوب شرقی این کمان ماقمایی قرار دارد، در شمال غربی نقشه زمین‌شناسی ۱:۱۰۰۰۰۰ نیشاپور (Ghaemi et al., 1998) قرار دارد. بر اساس این نقشه همه واحدهای آذربین این محدوده، آندزیت تا دasicت معرفی شده‌اند. اما مطالعات صحرایی و آزمایشگاهی این تحقیق نشان داد که توده‌های عمیق و نیمه‌عمیقی با ترکیب اسیدی نیز در منطقه رخمنون دارند (شکل ۲). بر اساس روابط صحرایی، قدیم‌ترین سنگ منطقه، واحد دasicت است که با یک روند شمال غربی - جنوب شرقی در شمال و شرق ناحیه مورد مطالعه (کنار روستای خانلیق) دیده می‌شود و مرز آن عمده‌تاً واحدهای رسوبی اطراف گسلی است (شکل ۲ و شکل ۳- A). توده‌های نفوذی اسیدی در آن نفوذ کرده‌اند. سنگ‌های رسوبی ائوسن که کنگلومرا و

پلیوسن می‌رسد. کنگلومراهای پلیوسن با میان‌لایه‌هایی از ماسه‌سنگ و مارن نیز در شمال شرقی و جنوب غربی دیده می‌شود (شکل ۲). این کنگلومرا جورش‌دگی ضعیفی دارد.

تشکیل شده از قطعات توف اسیدی و داسیت در زیر واحد آتنفسانی داسیتی منطقه در شمال شرقی و شمال و به شکل رخنمون کوچکی در جنوب نقشه دیده می‌شود (شکل ۲) که بر اساس نقشه نیشابور سن آن به



شکل ۲- نقشه زمین‌شناسی منطقه شمال شهر فیروزه (شمال شرقی ایران).



شکل ۳- تصویرهای صحرایی از: (A) واحد داسیت خاکستری رنگ ارتفاع ساز و واحد مارن، سیلت استون و شیل کرمی - قرمزنگ میوسن با ریخت‌شناسی تپه‌ماهوری؛ (B) استوک خاکستری رنگ هورنبلند گرانودیوریت پورفیری (شمال شهر فیروزه، شمال شرقی ایران).

عمدتاً مگنتیت هستند به صورت شکل دار تا نیمه‌شکل دار و بعضی در ابعاد $0/2$ میلی‌متر در حد 1 تا 2 درصد حجمی مشاهده می‌شوند. زمینه سنگ، کوارتز، فلدسپارها و هورنبلند است. اپیدوت، کلریت و کلسیت مهم‌ترین کانی‌های ثانوی هستند. هورنبلندها گاهی به طور کامل به کلسیت، اکسید آهن و کلریت تجزیه شده‌اند. فلدسپارها نیز به کلسیت تبدیل شده‌اند (شکل‌های ۴- A و B).

هورنبلند گرانودیوریت پورفیری: بافت آن پورفیری تا گلومروپورفیری با زمینه دانه‌متوسط تا دانه‌درشت است. کانی‌ها در بردارنده حدود 25 تا 30 درصد حجمی کوارتز، 40 تا 44 درصد حجمی پلازیوکلاز (الیگوکلاز - آندزین)، 15 تا 20 درصد حجمی آلکالی‌فلدسپار (ارتوكلاز) و 4 تا 6 درصد حجمی هورنبلند هستند. کانی تیره (کدر) آن مگنتیت است که به صورت شکل دار تا نیمه‌شکل دار و بعضی در ابعاد $0/3$ میلی‌متر در حد 1 درصد مشاهده می‌شوند. زیرکن و آپاتیت، کانی‌های فرعی سنگ هستند. هورنبلندها گاهی به طور کامل به کلسیت، اپیدوت و کلریت و فلدسپارها گاهی به کلسیت تبدیل شده‌اند (شکل ۴-C).

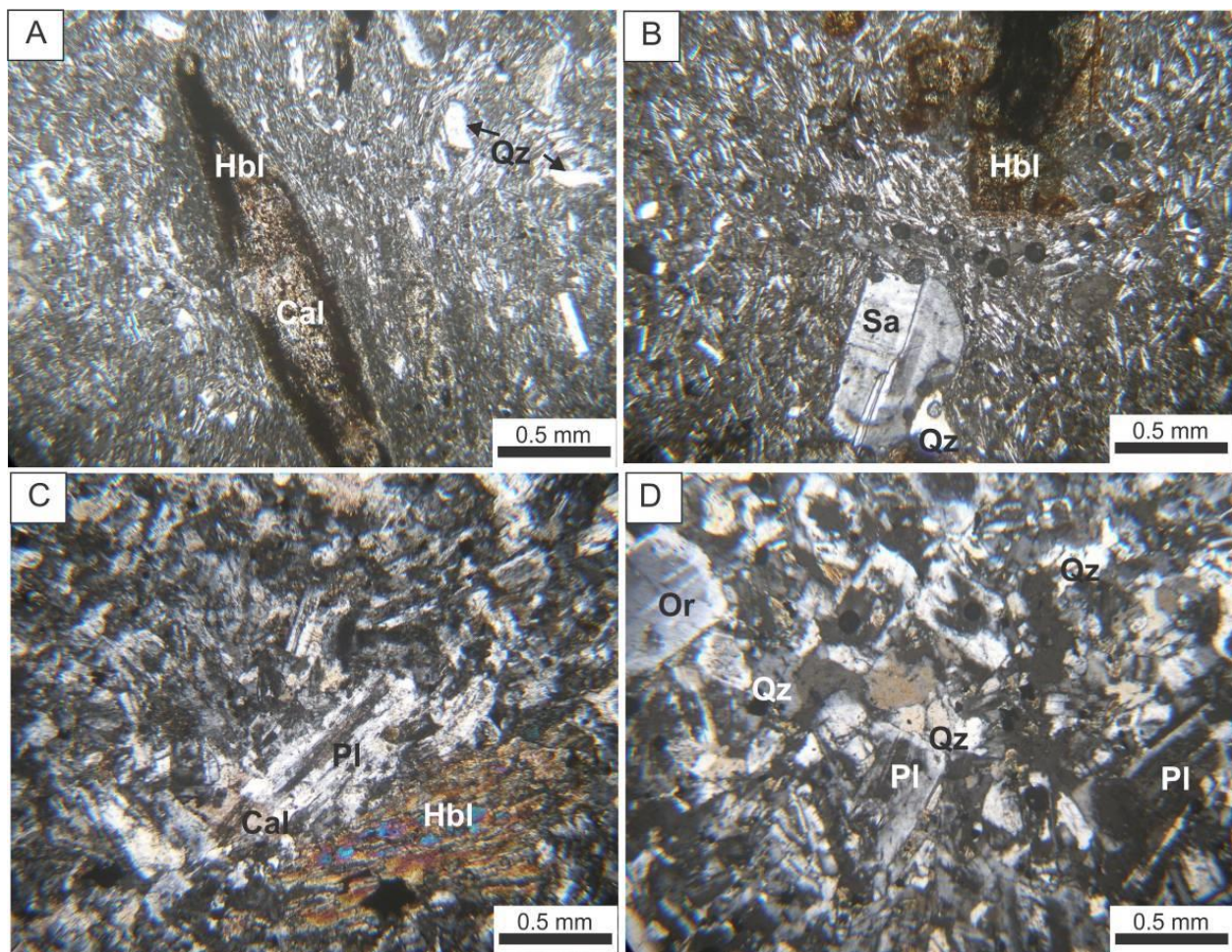
گرانودیوریت: بافت آن هیپیدیومورف گرانولار است. کانی‌های آن کوارتز (30 تا 35 درصد حجمی)، ارتوكلاز (15 تا 20 درصد حجمی) و پلازیوکلاز (40 تا 45 درصد حجمی) نوع الیگوکلاز - آندزین) هستند. کانی تیره (کدر) آن مگنتیت در حد 1 تا 2 درصد حجمی و کانی فرعی آن زیرکن است. مقادیر جزیی اپیدوت و کلسیت، مهم‌ترین کانی‌های ثانوی محصول تجزیه پلازیوکلاز هستند. در مجموع، این واحد بسیار کمتر از هورنبلند گرانودیوریت پورفیری دگرسان شده است (شکل ۴-D).

روش انجام پژوهش

برای تهیه نقشه زمین‌شناسی منطقه شهر فیروزه، ابتدا برداشت اطلاعات صحرایی و نمونه‌برداری از واحدهای سنگی در منطقه‌ای به وسعت تقریبی 40 کیلومتر مربع انجام شد. بیش از 200 نمونه از سطح منطقه جمع‌آوری شدند که از میان آنها 130 مقطع نازک تهیه و بررسی شدند. نقشه زمین‌شناسی منطقه در نرم‌افزار ArcGIS تهیه شد. پس از مطالعات دقیق پتروگرافی، تعداد 20 نمونه از واحدهای آذرین منطقه (10 نمونه از سنگ‌های آتشفشانی و 10 نمونه از توده‌های نفوذی) که حداقل دگرسانی را داشتند و یا کاملاً سالم بودند، برای بررسی‌های پترولوجیک انتخاب شدند. نمونه‌ها پس از خردایش و آماده‌سازی در شرکت تجزیه کنندگان کانسارهای بلورین آمتیس شرق برای اکسیدهای اصلی با Loss XRF تجزیه شدند و مقدار (L.O.I) روشنignition (on) آنها اندازه‌گیری شد. همچنین، این نمونه‌ها برای تجزیه عناصر فرعی و خاکی نادر به آزمایشگاه ACME کانادا ارسال و با روش ICP قلیایی با کد 4B03 بوده است. نتایج تجزیه با نرم‌افزار GCD.kit پردازش و از نمودارهای لازم پترولوجیکی برای تعبیر و تفسیرهای لازم استفاده شده است.

پتروگرافی سنگ‌های آذرین

داسیت: بافت آن پورفیری تا گلومروپورفیری با زمینه دانه‌ریز تا دانه‌متوسط و با بافت جریانی است. حدود 10 تا 15 درصد حجمی درشت‌بلور دیده می‌شود که در بردارنده 3 تا 5 درصد حجمی پلازیوکلاز (الیگوکلاز)، 2 تا 3 درصد حجمی آلکالی‌فلدسپار (سانیدین)، 4 تا 5 درصد حجمی هورنبلند و 1 تا 2 درصد حجمی کوارتز است. کانی‌های تیره (کدر) که



شکل ۴- تصاویری از مقاطع میکروسکوپی واحدهای آذرین منطقه شمال شهر فیروزه (شمال شرقی ایران). در نور واحد داسیت با بافت پورفیری و زمینه دانه ریز، هورنبلند از حاشیه سوخته و از مرکز به کلسیت تبدیل شده است، (B) واحد داسیت با بافت پورفیری و زمینه جریانی، (C) واحد هورنبلند گرانودیوریت پورفیری با درشت بلور پلازیوکلاز و هورنبلند، (D) واحد گرانودیوریت با بافت هیپیدیومورف گرانولار (نم اخشاری کانی ها برگرفته از Whitney و Evans (۲۰۱۰).

۶۹/۹۱ درصد وزنی متغیر است (جدول های ۱ و ۲). ترسیم نمونه های نفوذی در نمودار نامگذاری Middlemost و همکاران (۱۹۸۵) نشان می دهد که نمونه های در محدوده گرانودیوریت قرار می گیرند (شکل ۵- A). همچنان، نمونه های واحد آتشفسانی در نمودار TAS (LeMaitre *et al.*, 2002) در محدوده داسیت قرار می گیرند (شکل ۵- B).

ژئوشیمی واحدهای آذرین
نتایج تجزیه عناصر اصلی، فرعی و خاکی نادر توده های نفوذی و سنگ های آتشفسانی شمال شهر فیروزه در جدول های ۱ و ۲ ارائه شده است.

اکسیدهای اصلی: مقدار SiO_2 توده های نفوذی منطقه مورد مطالعه از ۶۴/۴۳ تا ۶۹/۰۳ و سنگ های آتشفسانی از ۶۴/۵۷ تا

جدول ۱- نتایج ژئوشیمیایی عناصر اصلی، فرعی و خاکی نادر توده‌های نفوذی هورنبلند گرانوودیوریت پورفیری و گرانوودیوریت شمال شهر فیروزه (شمال شرقی ایران) با روش XRF برای اکسیدهای اصلی (wt.% و ppm بر حسب ICP-MS) برای عناصر فرعی و خاکی نادر (بر حسب ppm).

Sample No.	KH-44	KH-16	KH-25	KH-37	KH-17	KH-40	KH-21	KH-22	KH-1	KH-4
Location	58°36'13"	58°35'51"	58°36'50"	58°36'37"	58°35'53"	58°36'21"	58°35'56"	58°35'55"	58°35'37"	58°35'38"
	36°24'32"	36°24'24"	36°24'21"	36°24'22"	36°24'26"	36°24'31"	36°24'28"	36°24'31"	36°24'20"	36°24'21"
SiO ₂	65.55	64.64	66.07	66.27	64.51	64.95	64.43	66.06	69.03	68.21
TiO ₂	0.32	0.35	0.31	0.29	0.28	0.31	0.30	0.30	0.34	0.30
Al ₂ O ₃	14.84	14.76	15.77	15.82	14.76	15.27	14.15	14.72	15.45	15.40
FeOt	3.91	3.18	2.71	3.36	3.71	3.76	3.71	3.02	2.40	3.15
MnO	0.08	0.05	0.04	0.07	0.07	0.04	0.06	0.05	0.03	0.05
MgO	3.54	3.40	2.18	1.75	2.14	3.28	3.96	1.08	0.67	0.88
CaO	4.5	4.68	4.32	4.71	5.00	4.02	4.55	5.34	4.74	4.34
Na ₂ O	3.16	4.51	5.28	3.65	4.65	3.84	2.70	5.79	4.86	5.24
K ₂ O	1.58	0.8	1.17	1.32	1.92	0.94	1.99	1.15	1.29	1.45
P ₂ O ₅	0.13	0.14	0.04	0.12	0.08	0.13	0.12	0.04	0.05	0.05
L.O.I.	2.23	3.29	1.94	2.54	2.76	3.32	3.91	2.32	0.99	0.79
Sum	99.84	99.8	99.83	99.9	99.88	99.86	99.88	99.87	99.85	99.86
Ba	244	166	202	178	197	171	237	176	193	229
Co	9	7	5	6	9	8	9	8	3	4
Cs	0.7	0.3	1.2	3.6	0.9	1.1	0.6	1.2	1.4	2.2
Ga	14	14	13	14	12	13	13	13	13	12
Hf	2.2	2	2.1	1.9	1.9	2.3	2	2.1	1.9	2.3
Nb	4.6	4.3	3.5	3.4	3	3.8	3.5	2.8	3	3.1
Rb	28	12	22	37	34	22	41	21	31	41
Sr	346	424	381	372	438	315	361	405	469	499
Ta	0.4	0.3	0.3	0.2	0.2	0.3	0.2	0.2	0.3	0.2
Th	2.6	2.3	1.9	2.2	2	2.7	2.4	1.8	1.9	2.2
Zr	85	83	79	76	82	88	78	86	84	92
Y	9	7	6	7	7	7	9	9	5	8
La	10.2	9	5.8	8.6	8.3	9.9	11.5	5.8	6.8	6.6
Ce	18.5	16.5	11	15.8	13.7	18.3	19.7	10.8	13.1	11.7
Pr	2.01	1.77	1.37	1.68	1.61	1.98	2.09	1.25	1.52	1.51
Nd	7.3	7	5.8	6.4	6.4	7.4	7.7	5.8	6.2	6.9
Sm	1.51	1.41	1.28	1.33	1.36	1.56	1.42	1.30	1.31	1.66
Eu	0.42	0.48	0.41	0.46	0.43	0.43	0.49	0.4	0.41	0.47
Gd	1.43	1.31	1.20	1.37	1.29	1.34	1.45	1.51	1.19	1.57
Tb	0.25	0.21	0.21	0.22	0.20	0.22	0.23	0.27	0.19	0.25
Dy	1.46	1.19	1.18	1.12	1.16	1.22	1.34	1.66	1.12	1.40
Ho	0.29	0.24	0.24	0.26	0.23	0.27	0.29	0.34	0.21	0.26
Er	0.82	0.74	0.63	0.75	0.74	0.75	0.91	1.13	0.63	0.85
Tm	0.13	0.11	0.11	0.12	0.10	0.12	0.12	0.17	0.08	0.12
Yb	0.91	0.81	0.68	0.70	0.83	0.73	0.99	1.16	0.62	0.97
Lu	0.14	0.12	0.13	0.13	0.12	0.13	0.17	0.17	0.10	0.14
K ₂ O/Na ₂ O	0.5	0.18	0.22	0.36	0.41	0.24	0.74	0.20	0.27	0.28
Sr/Y	38.48	60.54	61.45	53.84	63.43	43.15	40.60	43.10	93.72	64.81
A/NK	2.2	1.8	1.6	2.18	1.5	2.1	2.2	1.4	1.7	1.5
A/CNK	0.97	0.85	0.9	0.98	0.8	1.05	0.95	0.73	0.88	0.87
MALI*	0.24	0.63	2.13	0.26	1.57	0.76	0.14	1.6	1.41	2.35
(La/Yb) _N	7.56	7.49	5.75	8.28	6.74	9.14	7.83	3.37	7.39	4.59
(Ce/Yb) _N	5.26	5.27	4.18	5.84	4.27	6.48	5.15	2.41	5.47	3.12
Eu/Eu*	0.87	1.08	1.01	1.04	0.99	0.91	1.04	0.87	1	0.89

*MALI= Modified Alkali Lime Index (Na₂O+K₂O-CaO)

جدول ۲- نتایج ژئوشیمیایی عناصر اصلی، فرعی و خاکی نادر واحد داسیت شمال شهر فیروزه (شمال شرقی ایران) با روش XRF برای اکسیدهای اصلی (بر حسب .ppm) و ICP-MS برای عناصر فرعی و خاکی نادر (بر حسب wt.%).

Sample No.	KH-80	D1	D2	V5	KH-79	KH-77	KH-73	KH-84	KH-91	V4
Location	58°37'22"	58°36'18"	58°35'56"	58°37'34"	58°37'24"	58°37'20"	58°37'12"	58°37'14"	58°37'31"	58°36'35"
	36°24'17"	36°26'02"	36°26'07"	36°25'12"	36°24'18"	36°24'23"	36°24'23"	36°24'15"	36°24'13"	36°25'57"
SiO ₂	69.91	65.93	65.92	66.81	68.30	65.91	64.57	68.68	69.62	66.54
TiO ₂	0.42	0.58	0.57	0.56	0.35	0.51	0.63	0.39	0.34	0.56
Al ₂ O ₃	13.78	14.24	14.30	14.17	14.98	14.12	13.94	13.88	13.75	14.53
FeO	3.48	4.83	4.82	4.72	3.05	4.23	4.63	3.28	3.00	4.74
MnO	0.04	0.05	0.04	0.04	0.04	0.06	0.04	0.08	0.04	0.03
MgO	0.98	0.97	1.10	1.03	1.24	2.16	2.27	1.70	1.14	1.11
CaO	3.50	5.83	5.13	4.96	3.23	4.16	5.13	2.96	3.51	4.98
Na ₂ O	3.39	3.36	3.47	3.47	3.90	3.25	3.22	3.24	3.48	3.43
K ₂ O	1.74	1.67	1.64	1.60	1.76	1.72	1.70	2.01	1.77	1.62
P ₂ O ₅	0.19	0.18	0.23	0.21	0.16	0.24	0.27	0.16	0.18	0.20
L.O.I	2.43	2.19	2.63	2.28	2.82	3.47	3.43	3.46	3.01	2.09
Sum	99.86	99.83	99.85	99.85	99.83	99.83	99.83	99.84	99.84	99.83
Ba	293	286	296	278	301	302	314	321	301	287
Co	4	11	8	7	3	6	9	5	3	7
Cs	0.6	0.3	0.6	0.7	0.5	0.4	0.5	0.5	0.5	0.5
Ga	15	14	14	15	14	13	15	14	14	14
Hf	3	3.1	3.1	3.2	3.1	3.3	2.9	3	3	3.1
Nb	12.4	8.6	9.1	8.8	13	12.2	13	12.6	12.7	9
Rb	33	28	31	31	31	30	30	32	33	32
Sr	509	487	522	504	480	511	579	483	485	527
Ta	1	0.7	0.5	0.6	0.9	0.9	0.9	1	1	0.6
Th	5.5	3.9	4.2	4	5.3	5	4.8	5.6	5.3	3.8
Zr	136	131	139	136	133	135	141	134	132	140
Y	11	12	12	12	10	11	13	9	8	13
La	22.4	19	20.6	19.7	22.6	22.1	22.8	22.7	21.7	20.2
Ce	37.1	33.8	35.7	33.6	38.1	37.5	39.6	38.9	36.3	33
Pr	4.07	3.57	3.81	3.8	3.79	3.96	4.33	3.93	3.8	3.72
Nd	15.2	12.8	14.2	14.6	13.1	13.6	16.6	13.3	13.4	13.6
Sm	2.43	2.58	2.67	2.71	2.05	2.47	2.85	2.15	2.14	2.53
Eu	0.73	0.79	0.82	0.77	0.63	0.79	0.92	0.73	0.7	0.77
Gd	2.11	2.48	2.44	2.40	1.81	2.25	2.51	1.85	1.83	2.55
Tb	0.3	0.37	0.38	0.37	0.25	0.33	0.36	0.29	0.26	0.37
Dy	1.74	2.28	2.25	2.13	1.48	1.99	2.24	1.66	1.5	2.2
Ho	0.35	0.38	0.46	0.44	0.29	0.38	0.47	0.32	0.32	0.42
Er	1.14	1.19	1.13	1.26	0.92	1.16	1.39	1.01	1.04	1.28
Tm	0.16	0.2	0.19	0.18	0.16	0.18	0.19	0.15	0.14	0.19
Yb	1.17	1.23	1.25	1.23	1.08	1.20	1.38	1.13	1.05	1.30
Lu	0.18	0.19	0.19	0.19	0.19	0.19	0.21	0.16	0.16	0.19
K ₂ O/Na ₂ O	0.51	0.50	0.47	0.46	0.45	0.53	0.53	0.62	0.51	0.47
Sr/Y	48.51	40.6	43.47	43.79	48.46	45.23	43.18	54.21	59.16	42.19
A/NK	1.7	1.9	1.8	1.9	1.7	1.9	2	1.8	1.8	2
A/CNK	1	0.8	0.83	0.85	1.06	0.97	0.83	1.08	0.98	0.89
MALI*	1.63	-0.8	-0.02	0.11	2.43	0.81	-0.21	2.29	1.74	0.07
(La/Yb) _N	12.91	10.41	11.11	10.8	14.11	12.42	11.14	13.54	13.93	10.48
(Ce/Yb) _N	8.20	7.11	7.39	7.07	9.13	8.08	7.42	8.9	8.94	6.57
Eu/Eu*	0.99	0.95	0.98	0.92	1	1.02	1.05	1.12	1.08	0.93

*MALI= Modified Alkali Lime Index (Na₂O+K₂O-CaO)

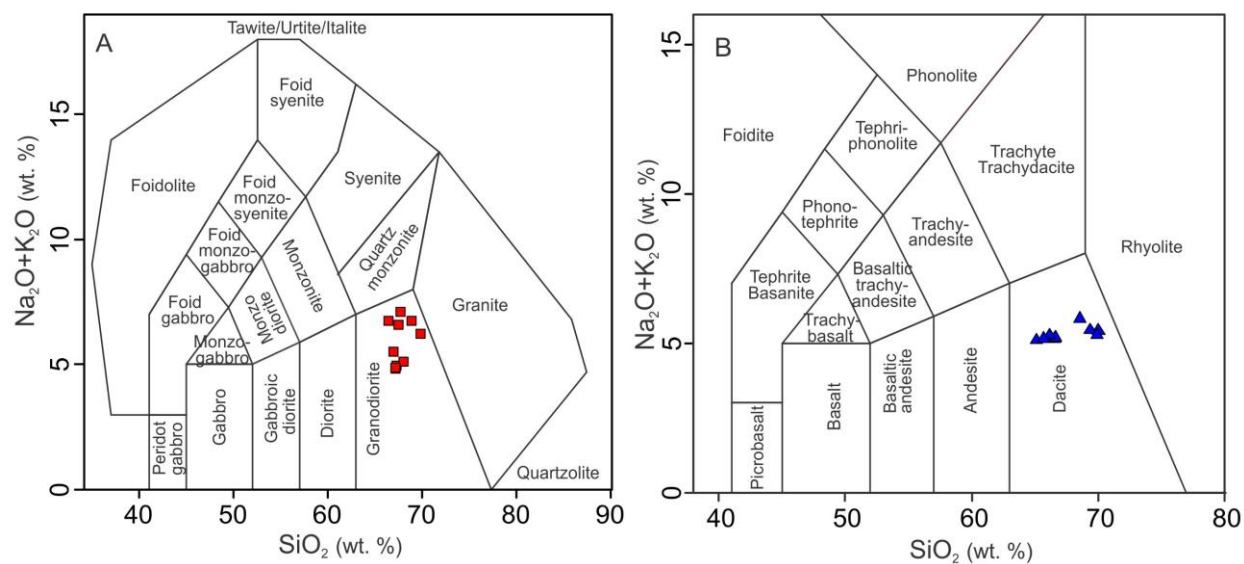
۱/۱۰۳ و برای سنگ‌های آتشفشانی بین ۰/۸ تا ۱/۱ است) (شکل ۶-۶).

همچنین، بر اساس مقدار $\text{Fe}_2\text{O}_3/\text{Fe}_2\text{O}_3+\text{MgO}$ و SiO_2 در نمودار Frost و Frost (۲۰۰۸)، همه نمونه‌ها از نوع منیزیمی هستند (شکل ۶-۶). در نمودار دیگر $\text{Na}_2\text{O}+\text{K}_2\text{O}-\text{CaO}$ (MALI) در برابر SiO_2 (Frost and Frost, 2008)، همه نمونه‌های آتشفشانی و نفوذی منطقه مورد مطالعه در محدوده کلسیک قرار می‌گیرند (شکل ۶-۶).

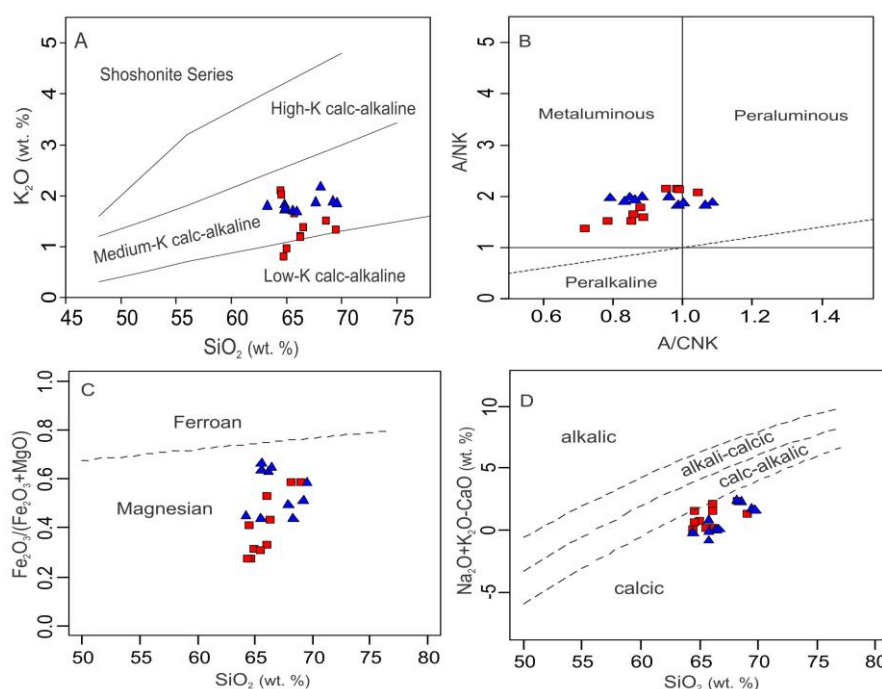
قرار گرفتن نمونه‌های نفوذی و آتشفشانی در نمودارهای Na_2O در برابر A/CNK ، K_2O در برابر SiO_2 و CaO در برابر Fe_2O_3 که مرز گرانیت‌ویدهای I و S را جدا می‌کند، نشان می‌دهد که همه واحدهای آذرین منطقه شهر فیروزه از نوع گرانیت‌ویدهای I هستند (شکل‌های ۷-۷ A تا C).

مقدار K_2O واحدهای هورنبلند گرانودیوریت پورفیری و گرانودیوریت از ۰/۸ تا ۲ درصد وزنی و مقدار نسبت $\text{K}_2\text{O}/\text{Na}_2\text{O}$ آنها از ۰/۴۱ تا ۰/۱۸ متغیر است، در حالی که درصد K_2O در واحد داسیت بین ۱/۶ تا ۲ درصد وزنی و نسبت $\text{K}_2\text{O}/\text{Na}_2\text{O}$ بین ۰/۴۵ تا ۰/۶۲ درصد وزنی است (جدول های ۱ و ۲). بر اساس نمودارهای K_2O در برابر SiO_2 (Peccerillo and Taylor, 1976) بیشتر نمونه‌ها از نوع کالک‌آلکالن پاتاسیم متواتر هستند (شکل ۶-۶).

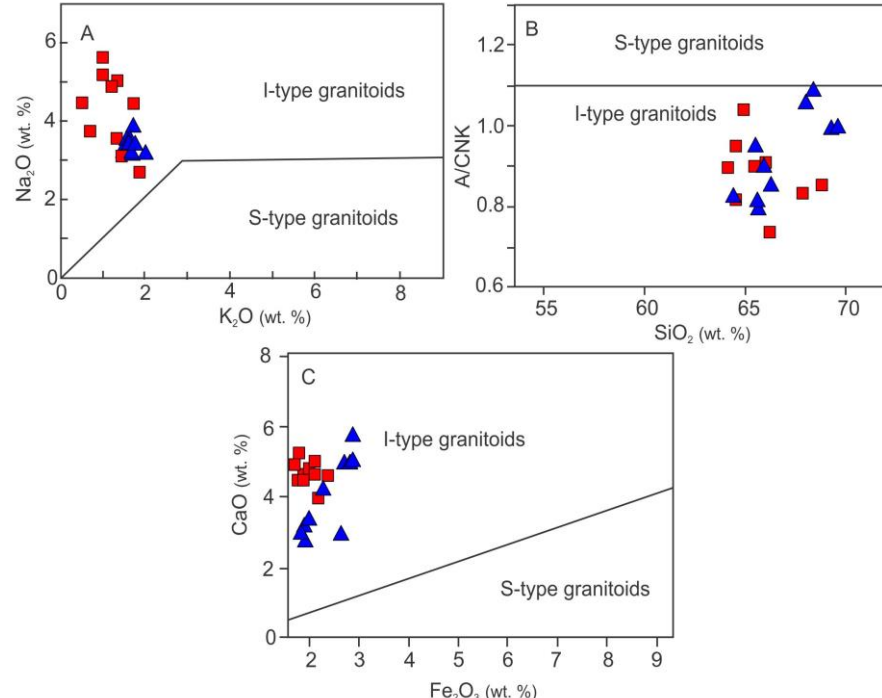
بر مبنای نمودار نسبت مولی $\text{Al}_2\text{O}_3/\text{Na}_2\text{O}+\text{K}_2\text{O}$ در برابر A/NK یا $\text{Al}_2\text{O}_3/\text{CaO}+\text{Na}_2\text{O}+\text{K}_2\text{O}$ (Shand, 1947) A/CNK آتشفشانی بیشتر متألومینوس و کمتر پرآلومینوس هستند (A/CNK برای سنگ‌های نفوذی بین ۰/۷ تا ۰/۷-۷ A).



شکل ۵-۵ (A) موقعیت توده‌های نفوذی شمال شهر فیروزه (شمال شرقی ایران) در نمودار نامگذاری Middlemost و همکاران (۱۹۸۵)؛ (B) موقعیت نمونه‌های آتشفشانی شمال شهر فیروزه در نمودار TAS (LeMaitre et al., 2002).



شکل ۶- موقعیت ترکیبی توده‌های نفوذی و آتشفسانی شمال شهر فیروزه (شمال شرقی ایران) در: (A) نمودار K_2O در برابر SiO_2 (Peccerillo and Frost, 2008) (B) نمودار $A/NK - A/CNK$ (and Taylor, 1976) (C) نمودار $Fe_2O_3/(Fe_2O_3+MgO)$ در برابر SiO_2 (Shand, 1947) (D) نمودار Na_2O+K_2O-CaO در برابر SiO_2 (Frost and Frost, 2008). مریع قرمز، نمونه‌های نفوذی و مثلث آبی، نمونه‌های آتشفسانی است.



شکل ۷- موقعیت نمونه‌های نفوذی و آتشفسانی شمال شهر فیروزه (شمال شرقی ایران) در: (A) نمودار Na_2O در برابر K_2O ، مرز جداگانه گرانیتوییدهای نوع I و S در $Na_2O=3\%$ (Chappell and White, 1974) (B) نمودار A/CNK در برابر SiO_2 (Chappell and White, 2001) (C) نمودار CaO در برابر Fe_2O_3 (Chappell and White, 2001). مریع قرمز، نمونه‌های نفوذی و مثلث آبی، نمونه‌های آتشفسانی است.

کانی‌های Nb-Ti (مانند روتیل و ایلمنیت) در باقی مانده ماقمای مادر در محل مخزن باشد (Martin, 1999; Reagan and Gill, 1989; Pearce and Parkinson, 1993). همچنین، مقادیر Nb می‌تواند نشان‌دهنده تهی‌شدگی رخداده قبلی Walker *et al.*, (2001; Gust *et al.*, 1997 در سنگ‌های مخزن گوشه باشد (Gust *et al.*, 1997 در نمونه‌ها می‌تواند در نتیجه جداشدن آپاتیت از ماگما باشد (Wu *et al.*, 2003).

عناصر REE نسبت به سایر عناصر به مقدار کمتری در معرض هوازدگی و دگرسانی‌های هیدروترمالی قرار می‌گیرند، بنابراین، الگوی فراوانی آنها می‌تواند نشانه‌هایی از خاستگاه آذرین سنگ‌ها را اثبات کند (Boynton, 1985; Rollinson, 1993). نمودار عناصر خاکی نادر (REE) در نمونه‌های گرانودیوریتی و واحد داسیتی که نسبت به کندریت نرم‌الیزه شده است، یک غنی‌شدگی نسبتاً شدید در عناصر خاکی نادر سبک (HREE) نسبت به عناصر خاکی نادر سنگین (LREE) نشان می‌دهد که مقدار غنی‌شدگی در واحد آتشفشانی به طور کاملاً واضحی بیشتر است (شکل‌های A-8 و D). غنی‌شدگی بیشتر عناصر LREE در واحد داسیتی با بالاترین نسبت $(La/Yb)_N$ (بین ۱۰/۴۱ تا ۱۳/۹۳) و $(Ce/Yb)_N$ (بین ۶/۵۷ تا ۹/۱۳) در مقایسه با واحدهای گرانودیوریتی (به ترتیب بین ۳/۳۷ تا ۹/۱۴ و ۲/۴۱ تا ۶/۴۸) نیز تأیید می‌شود (جدول‌های ۱ و ۲). این روند غنی‌شدگی در LREE نسبت به HREE شاخص مذاب‌های تشکیل شده در پهنه فرورانش است (Asiabanza *et al.*, 2012; Helvacı *et al.*, 2009; Zulkarnain, 2009; Nicholson *et al.*, 2004). الگوی عناصر REE و پایین‌بودن نسبی نسبت $(La/Yb)_N$ (۳/۳۷ تا ۱۳/۹۳) در همه نمونه‌ها کم‌بودن مقدار گارنت را در ناحیه خاستگاه اثبات می‌کند. به نظر Peters و همکاران (۲۰۰۸) محتوای LREE (مانند La

عناصر فرعی و خاکی نادر: عناصر لیتوفیل با شعاع یونی بزرگ (LILE)، عناصر ناسازگار و متخرکی هستند، در حالی که عناصر واسطه با شدت میدان بالا (HFSE) و برخی از عناصر متحولی در شرایط دگرگونی و دگرسانی، عناصر سازگار و تقریباً نامتخرکی هستند. غلظت عناصر لیتوفیل با شعاع یونی بزرگ، تابعی از فاز شاری است، در حالی که غلظت عناصر واسطه با شدت میدان بالا تابعی از شیمی سنگ خاستگاه و فرایندهای ذوب - تبلور است (Rollinson, 1993). نمودار عنکبوتی عناصر فرعی و برخی عناصر خاکی نادر نرم‌الیزه شده نسبت به گوشه اولی برای توده‌های گرانودیوریتی و واحد آتشفشانی داسیتی در شکل‌های A و B نشان داده شده است.

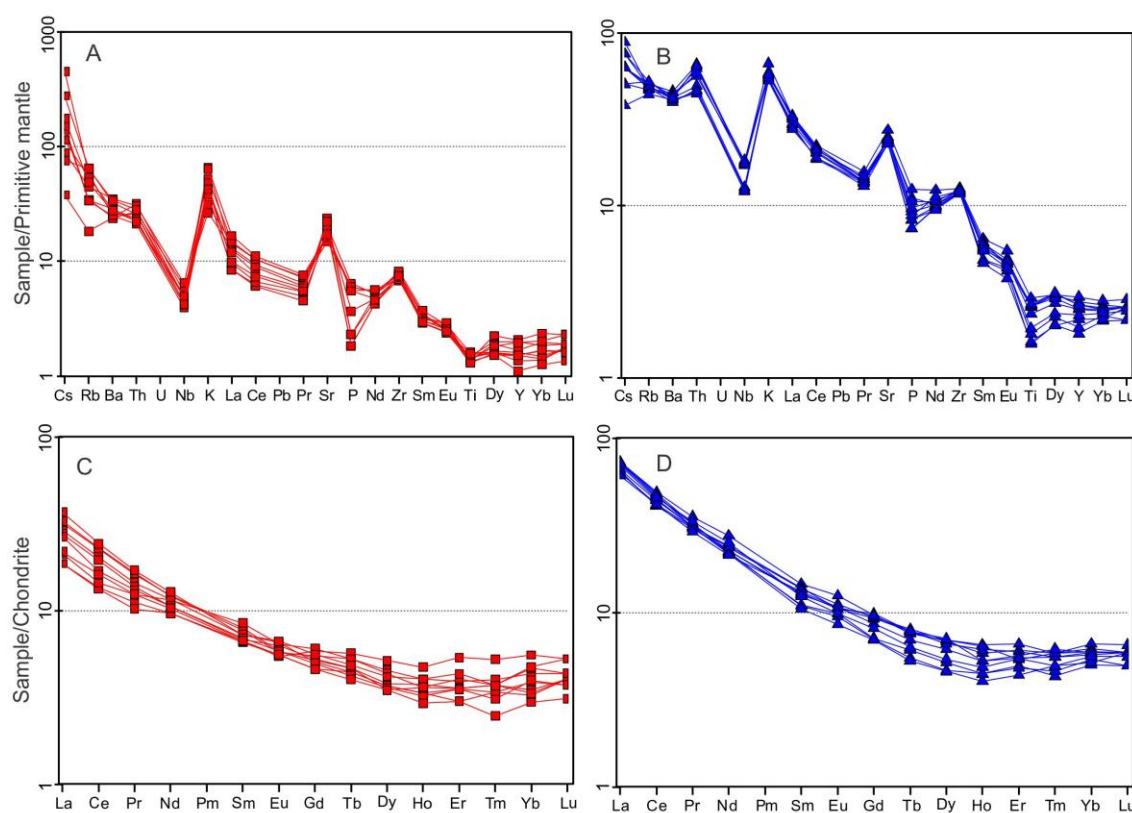
غنی‌شدگی در عناصر Cs, Ba, Rb, K, LILE و عناصر ناسازگاری که رفتار شبیه آنها دارند، مثل Th نسبت به عناصر HFSE (Nb, Ti, Zr, Y) در همه نمونه‌ها نسبت به گوشه اولی دیده می‌شود (شکل‌های A و B). غنی‌شدگی در عناصر LILE نسبت به HFSE نشان‌دهنده مذاب مرتبط با مناطق فرورانش است (Wilson, 2007; Seghedi *et al.*, 2001; Rollinson, 1993; Pearce, 1983; Gill, 1981). عناصر قابلیت احلال بیشتری از عناصر HFSE در سیالات دارند (Machado *et al.*, 2005; Yang and Li, 2008)

بنابراین، در مناطق فرورانش، سیالات آزادشده از بخش بالایی لیتوسفر فرورونده که از Nb فقیر و از LILE غنی هستند به گوشه گوشه‌های افزوده می‌شوند (Borg *et al.*, 1997). احتمال این که عناصر HFSE در مرحله‌هایی مانند روتیل و یا ایلمنیت وارد شوند، بسیار زیاد است که این مطلب به وجود ورقه فرورانده شده اشاره می‌کند (Ryerson and Watson, 1987). مقادیر پایین Ti و Nb می‌تواند نتیجه وجود اکسیدهای Fe-Ti یا

ماگماهای با نسبت بالای $(Ce/Yb)_N$ ، ماگما از عمق زیاد (گستره پایداری گارنت) و نرخ ذوب کم (вшار زیاد) ریشه گرفته است (Cotton *et al.*, 1995). با توجه به جدول‌های ۱ و ۲ مقدار $(Ce/Yb)_N$ نمونه‌های نفوذی و Eu/Eu^{*} آتشفشاری کمتر از $9/13$ است. مقدار نسبت Eu/Eu^{*} نیز در توده‌های نفوذی منطقه بین $0/87$ تا $1/08$ و در واحد داسیتی بین $0/92$ تا $1/12$ متغیر است (جدول‌های ۱ و ۲). در مجموع، ناهنجاری Eu اغلب مثبت است.

در مذاب به ذوب‌بخشی گارنت یا اسپینل پریدوتیت و نسبت $(La/Yb)_N$ به درجات متغیر ذوب بستگی دارد. مذاب‌های رخساره گارنت نسبت به مذاب‌های رخساره اسپینل، نسبت‌های بالاتری از $(La/Yb)_N$ را ایجاد می‌کنند.

نسبت $(Ce/Yb)_N$ نیز می‌تواند نشان‌دهنده عمق و نرخ ذوب سنگ مادر باشد. مقدار کم این نسبت گویای این است که ماگما از قسمت‌های بالایی گوشته (عمر کم) یا نرخ ذوب زیاد ریشه گرفته است. در برابر



شکل ۸- نمودار نرمالیزه شده برخی عناصر فرعی و خاکی نادر نسبت به ترکیب گوشته اولی برای توده‌های نفوذی (A) و واحد آتشفشاری (B) شمال شهر فیروزه (شمال شرقی ایران) (مقادیر ترکیب گوشته اولی از Sun و McDonough ۱۹۸۹) و نرمالیزه کردن عناصر نادر خاکی نسبت به ترکیب کندریت برای توده‌های نفوذی (C) و واحد آتشفشاری (D) شهر فیروزه (مقادیر ترکیب کندریت از Boynton ۱۹۸۵).

آتشفشاری پهنه فرورانش (VAG) است (شکل‌های A-۹ و B). همچنین، نمودارهای Th/Yb در برابر Ta/Yb (Helvacı *et al.*, 2009; Siddiqui *et al.*, 2007;) (Pearce, 1983) نیز موقعیت تکتونیکی واحدهای نفوذی و آتشفشاری شهر فیروزه را به صورت حاشیه **فعال** قاره

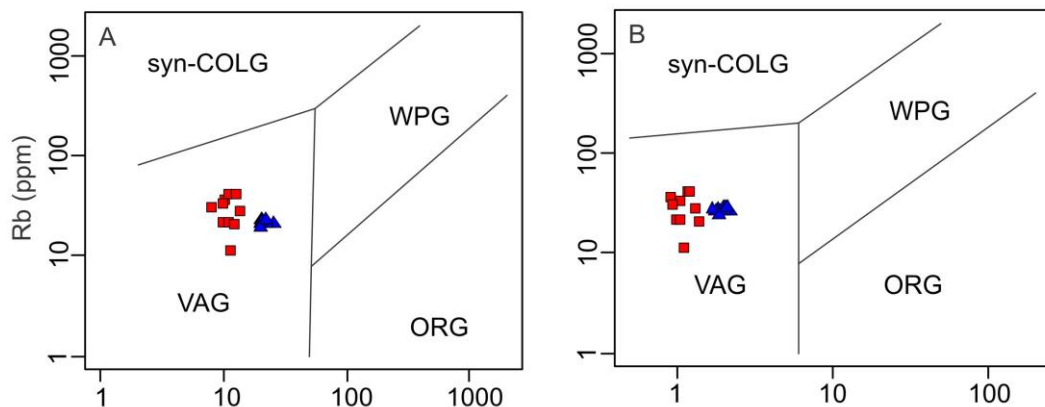
بحث

جايگاه تکتونیکی: بر اساس مقدار عناصر Yb , Nb , Y , Rb و Ta در نمودارهای Pearce و همکاران (1984)، موقعیت تکتونیکی تشکیل توده‌های گرانودیوریتی و واحد آتشفشاری داسیتی، کمربندهای

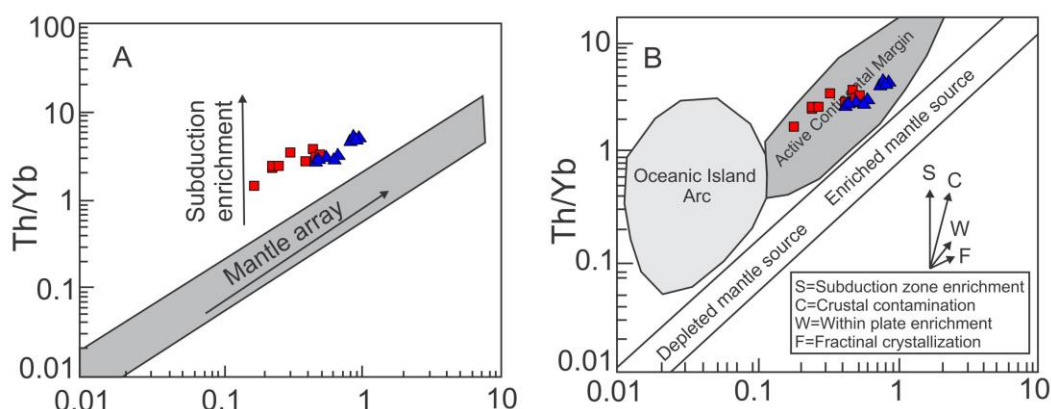
مورد مطالعه از محدوده گوشه‌ای به سمت مقادیر بیشتر جابه‌جا شده است (شکل‌های A-10 و B). این تغییر ترکیبی به فرایندهای وابسته به فرورانش نسبت داده می‌شود (Helvacı *et al.*, 2009). شاره‌های متاسوماتیک ممکن است سیال آبدار یا مذاب‌های بخشی اولی حاصل از رسوبات و یا پوسته بازالتی فرورانده شده به گوته گوشه‌ای را شامل شود که موجب پایین‌آوردن سالیدوس گوشه، ذوب‌بخشی و تولید ماغما می‌شود (Harangi *et al.*, 2007; Hoang *et al.*, 2011). بنابراین، سنگ‌های نفوذی و آتشفشاری شهر فیروزه احتمالاً از ذوب‌بخشی پوسته اقیانوسی فرورونده و گوته گوشه‌ای روی آن تشکیل شده‌اند.

نشان می‌دهد (شکل‌های A-10 و B). در این نمودارها، عناصر کمیاب Ta و Th نسبت به Yb سنجیده می‌شود تا تغییرات شیمیایی ناحیه خاستگاه که غنی‌شدگی، آلایش پوسته‌ای و تفریق بلوری است، مشخص شود. تغییرات نسبت Th/Yb و Ta/Yb بیان‌کننده تغییرات خاستگاه است.

غیریکنواختی در خاستگاه، مقادیر Th و Ta را به طور یکسان در تأثیر قرار داده است و ترکیب گوشه نسبت به گوشه اولی در راستای یک شیب واحد به سمت نسبت‌های بالاتر یا پایین‌تر Ta/Yb و WPG جابه‌جا می‌شود (Aldanmaz *et al.*, 2000). نسبت‌های Ta/Yb و همه نمونه‌های نفوذی و آتشفشاری منطقه و Th/Yb



شکل ۹- موقعیت توده‌های نفوذی و واحد آتشفشاری منطقه شمال شهر فیروزه (شمال شرقی ایران) در نمودارهای Pearce و همکاران (۱۹۸۴). syn-COLG=گرانیتوییدهای همزمان با تصادم قاره‌ها، مربع قرمز، نمونه‌های نفوذی و مثلث آبی، نمونه‌های آتشفشاری است. VAG=WPG=گرانیتوییدهای درون صفحه‌ای، ORG=گرانیتوییدهای پشتۀ میان اقیانوسی.

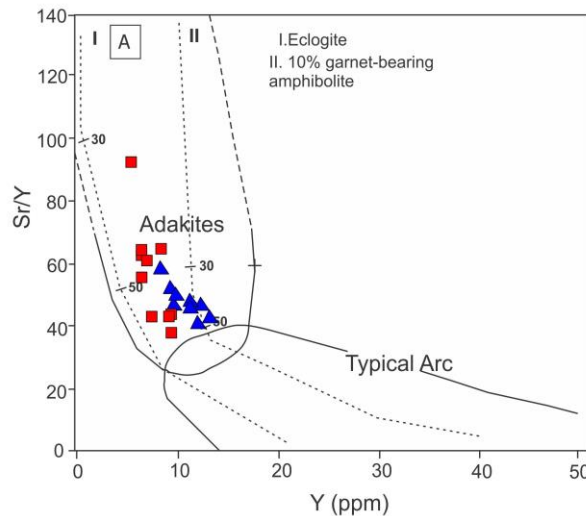
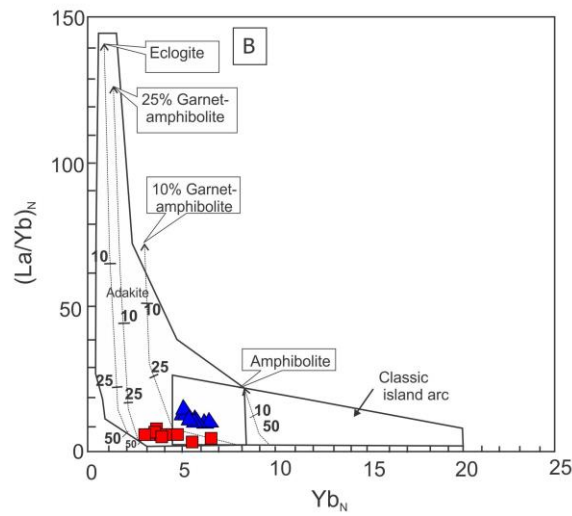


شکل ۱۰- موقعیت توده‌های نفوذی و واحد آتشفشاری منطقه شمال شهر فیروزه (شمال شرقی ایران) در برابر Th/Yb در نمودارهای Pearce (1983). مربع قرمز، نمونه‌های نفوذی و مثلث آبی، نمونه‌های آتشفشاری است. Helvacı *et al.*, 2009; Siddiqui *et al.*, 2007;

یک گیگاپاسکال و حرارت ۸۵۰ تا ۱۱۵۰ درجه سانتیگراد است (Prouteau *et al.*, 2001; Rapp *et al.*, 2001; Watson, 1995 and Martin, 1999). مagmaهای آداسیتی اغلب در پهنه‌های فرورانش و به‌ویژه جایی که قطعه فرورانده شده جوان باشد (پهنه‌های فرورانش جوان یا فرورانش پوسته اقیانوسی جوان) تشکیل می‌شوند (Defant and Drummond, 1990; Xu *et al.*, 2002)؛ هر چند که تشکیل آنها در نتیجه ذوب‌بخشی پوسته زیرین بازالتی ضخیم شده در گوشته لیتوسferی (Gao *et al.*, 2004) و ذوب مواد بازالتی در فشار معادل با ضخیم‌شدگی پوسته (بیش از ۴۰ کیلومتر) (Rapp *et al.*, 1999) نیز بیان شده است. Baumann و همکاران (۱۹۸۳) نسبت $^{87}\text{Sr}/^{86}\text{Sr}$ اولی را در بخش‌های مختلف سنگ‌های آذرین کالک‌آلکالن ترسیمی در کمان مagmaی قوچان - سبزوار، تحلیل و مقدار آن را بین ۰/۷۰۳۵ تا ۰/۷۰۶۰ و حداقل بین ۰/۷۰۴۰ و ۰/۷۰۵۲ (میانگین ۰/۷۰۴۶) تعیین کردند. آنها بیان کردند که ذوب‌بخشی گوئه گوشه‌ای بالای یک اقیانوسی با ذوب‌بخشی سبزواری یک پوسته پهنه‌های فرورانش بدون دخالت پوسته قاره‌ای سیالیک، این magmaتیسم را تشکیل داده است. هم‌چنین، آنها معتقد بودند که تنوع در ترکیب ایزوتاپ استرانسیم ممکن است در نتیجه ناهمگنی گوشه و درجه متفاوت تبلور‌بخشی باشد که نقش مهمی در تشکیل magmaهای کالک‌آلکالن دارد. در مجموع، ویژگی‌های ژئوشیمیایی سنگ‌های آتشفشاری و نفوذی اسیدی شمال شهر فیروزه نشان می‌دهد که این فعالیت magmaای کالک‌آلکالن بر اثر ذوب ورقه اقیانوسی فرورانده شده جوان و داغ نئوتیس سبزوار و گوئه گوشه‌ای روی آن و در حاشیه قاره توران تشکیل شده است.

پترولوزن و مقایسه با magmaهای آداسیتی: ویژگی ژئوشیمیایی نمونه‌های نفوذی و واحد آتشفشاری شمال شهر فیروزه با magmaهای آداسیتی در جدول ۳ مقایسه شده است. مقدار نسبت Sr/Y نمونه‌های نفوذی و واحد آتشفشاری به ترتیب بین ۰/۴۸ تا ۰/۳۸ و ۰/۶ تا ۰/۱۶ است. هم‌چنین، میزان Y نیز در نمونه‌های نفوذی، کمتر از ۰/۴ و در واحد داسیتی، کمتر از ۰/۴ گرم در تن است (جدول‌های ۱ و ۲). موقعیت نمونه‌ها در نمودار Sr/Y در برابر Y بیان‌کننده این است که magmaهای این توده‌های نفوذی و واحد آتشفشاری ماهیت magmaهای آداسیتی را دارد (شکل ۱۱- A). دیاگرام La/Yb_{N} (La/Yb) در برابر Yb_{N} (Martin, 1995) نیز نشان می‌دهد که به علت مقدار La/Yb_{N} نمونه‌ها (تا ۰/۱۴ در نمونه‌های نفوذی و ۰/۱۱ در داسیت) و میزان Yb_{N} (بین ۰/۵۵ تا ۰/۹۷ در نمونه‌های نفوذی و بین ۰/۰۲ تا ۰/۶ در داسیت) این واحدها در مرز مشترک magmaهای کالک‌آلکالن معمولی با آداسیتی تا محیط آداسیت قرار می‌گیرند (شکل ۱۱- B). بر اساس این نمودار، توده‌های نفوذی و واحد داسیتی شمال شهر فیروزه می‌توانند از ذوب‌بخشی آمفیبولیتی که بین ۱۰ تا ۲۵ درصد گارنت داشته است، تشکیل شده باشند (شکل ۱۱- B).

علاوه بر مقدار نسبت Yb_{N} بالا و Y و Y ، ویژگی‌های دیگر نمونه‌ها نیز مانند مقدار MgO ، Al_2O_3 ، SiO_2 و K_2O ، نبودن ناهنجاری LREE و غنی‌شدگی شدید عناصر منفی Eu و HREE شباهت زیادی به آداسیت‌های (جدول ۳). هم‌چنین، در مقایسه با آداسیت‌های پرسیلیس و کم‌پرسیلیس از نوع magmaهای آداسیتی پرسیلیس هستند (جدول ۴). مذاب‌های آداسیتی عموماً از ذوب‌بخشی سنگ‌های گارنت‌دار حاصل می‌شوند (Macpherson *et al.*, 2006) و این کانی مرحله باقی‌مانده حاضر در فشار بیشتر یا مساوی

A**B**

شکل ۱۱ - (A) توده‌های نفوذی و واحد آتشفشانی منطقه شمال شهر فیروزه (شمال شرقی ایران) در نمودار Sr/Y در برابر Y در محدوده ترکیبی آدکیت قرار می‌گیرند (Defant and Drummond, 1990); (B) توده‌های نفوذی و واحد آتشفشانی منطقه شهر فیروزه در نمودار $(\text{La}/\text{Yb})_N$ و Yb_N (Martin, 1995) در محیط آدکیت قرار می‌گیرند. مریع قرمز، نمونه‌های نفوذی و مثلث آبی، نمونه‌های آتشفشانی است. مریع قرمز، نمونه‌های نفوذی و مثلث آبی، نمونه‌های آتشفشانی است.

جدول ۳- مقایسه میانگین ویژگی‌های ژئوشیمیابی توده‌های نفوذی و واحد آتشفشانی شمال شهر فیروزه (شمال شرقی ایران) با مagmaهای آدکیتی (Castillo, 2006; Martin *et al.*, 2005; Rollinson and Tarney, 2005; Martin, 1999; Defant and Drummond, 1990 Castillo, 2012; Moyen, 2009).

میانگین واحد داسیتی	میانگین توده‌های نفوذی	میانگین آدکیت‌ها
67.22%	65.97%	$\text{SiO}_2 \geq 56\%$
14.17%	15.1%	$\text{Al}_2\text{O}_3 \geq 15\%$
1.37%	2.28%	$\text{MgO} < 3\%$
3.42%	4.37%	$3.5\% \leq \text{Na}_2\text{O} \leq 7.5\%$
0.51	0.34	$\text{K}_2\text{O}/\text{Na}_2\text{O} \sim 0.42$
480	315	$\text{Sr} > 400 \text{ ppm}$
Low HREE	Low HREE	Low HREE
Mostly positive anomaly of Eu	Mostly positive anomaly of Eu	Positive anomaly of Eu
$(\text{La}/\text{Yb})_N > 10.41$	$(\text{La}/\text{Yb})_N > 3.37$	$(\text{La}/\text{Yb})_N > 10$
$\text{Yb} \leq 1.38 \text{ ppm}$	$\text{Yb} \leq 1.16 \text{ ppm}$	$\text{Yb} \leq 1.8 \text{ ppm}$
$\text{Y} \leq 12.5 \text{ ppm}$	$\text{Y} \leq 9.4 \text{ ppm}$	$\text{Y} \leq 18 \text{ ppm}$
-	-	$(^{87}\text{Sr}/^{86}\text{Sr})_i < 0.7045$

جدول ۴- مقایسه میانگین ویژگی‌های ژئوشیمیابی توده‌های نفوذی و واحد آتشفشانی شمال شهر فیروزه (شمال شرقی ایران) با magmaهای آدکیتی پرسیلیس و کم‌سیلیس (Martin *et al.*, 2005).

میانگین آدکیت‌های پرسیلیس	میانگین آدکیت‌های کم‌سیلیس	میانگین واحد داسیتی	میانگین توده‌های نفوذی
$\text{SiO}_2 < 60\%$	$\text{SiO}_2 > 60\%$	67.22%	65.97%
$\text{MgO} = 0.97-2.27\%$	$\text{MgO} = 0.67-3.96\%$	$\text{MgO} = 4-9\%$	$\text{MgO} = 0.5-4\%$
$\text{CaO} + \text{Na}_2\text{O} < 9.19\%$	$\text{CaO} + \text{Na}_2\text{O} < 11.13\%$	$\text{CaO} + \text{Na}_2\text{O} > 10\%$	$\text{CaO} + \text{Na}_2\text{O} < 11\%$
$\text{Sr} < 579 \text{ ppm}$	$\text{Sr} < 499 \text{ ppm}$	$\text{Sr} > 1000 \text{ ppm}$	$\text{Sr} < 1100 \text{ ppm}$
$\text{TiO}_2 < 0.34\%$	$\text{TiO}_2 < 0.28\%$	$\text{TiO}_2 > 3\%$	$\text{TiO}_2 < 0.9\%$

مقدار Y (کمتر از ۱۳ گرم در تن) و Yb (کمتر از ۱/۴ گرم در تن) کم نشان می‌دهد که ماقمای این توده‌ها ماهیت مagmaهای آداسیتی به‌ویژه نوع پرسیلیس را دارند. سنگ‌های نفوذی و آتشفسانی شمال شهر فیروزه احتمالاً از ذوب‌بخشی ورقه اقیانوسی فرورانده‌شده جوان و داغ نتوتیس سیزوار و گوئه گوشه‌ای روی آن تشکیل شده است.

سپاس‌گزاری

این پژوهه با حمایت مالی دانشگاه فردوسی مشهد در ارتباط با طرح پژوهشی شماره ۲۸۶۷۳/۲ در تاریخ ۱۳۹۲/۹/۱۲ انجام شده است. از شرکت تجزیه‌کنندگان XRF کانسارهای بلورین آمتیس شرق برای انجام تجزیه تشکیل شود.

نتیجه‌گیری

سنگ‌های آتشفسانی داسیتی و توده‌های نفوذی گرانودیوریتی شمال شهر فیروزه با سن الیگومن از نوع متالومینوس و پتابسیم متوسط و به گرانیتوییدهای سری مگنتیت (اکسیدان) متعلق هستند. غنی‌شدگی عناصر LREE نسبت به HFSE و نیز مقدار عناصر Nb، LILE، Rb، Th، Yb تشکیل مذاب آنها، پهنه فرورانش است. مذاب واحد آتشفسانی و توده‌های نفوذی اسیدی از ذوب‌بخشی آمفیبولیت گارنتدار (بین ۱۰ تا ۲۵ درصد) تشکیل شده است. مقادیر اکسیدهای اصلی، غنی‌شدگی نسبتاً شدید عناصر HREE نسبت به LREE، ناهنجاری عمدهاً مشبت Eu، مقدار بالای Sr (بیش از ۴۹۹ گرم در تن)،

منابع

- Alavi, M. (1991) Sedimentary and structural characteristics of the Paleo-Tethys remnants in northeastern Iran. *Geological Society of American Bulletin* 103: 983–992.
- Aldanmaz, E., Pearce, J. A., Thirlwall, M. F. and Mitchell, J. G. (2000) Petrogenetic evolution of late Cenozoic, post-collision volcanism in western Anatolia, Turkey. *Journal of Volcanology and Geothermal Research* 102: 67–95.
- Asiabanza, A., Bardintzeff, J. M., Kananian, A. and Rahimi G. (2012) Post-Eocene volcanics of the Abazar district, Qazvin, Iran: Mineralogical and geochemical evidence for a complex magmatic evolution. *Journal of Asian Earth Sciences* 45: 79–94.
- Bauman, A., Spies, O. and Lensch, G. (1983) Strontium isotopic composition of post-ophiolitic tertiary volcanics between Kashmar, Sabzevar and Quchan NE Iran. In: Geodynamic project (geotraverse) in Iran (Ed. Almassi, A.) 267–276. Geological Survey of Iran, Tehran.
- Borg, L. E., Clyne, M. A. and Bullen, T. D. (1997) The variable role of slab-derived fluids in the generation of a suite of primitive calc-alkaline lavas from the southernmost Cascade Range. *Canadian Mineralogist* 35: 425–452.
- Boynton, W. V. (1985) Cosmochemistry of the rare earth elements, Meteorite studies. In: Rare earth element geochemistry (Ed. Henderson, P.) 115–1522. Elsevier, Amsterdam.
- Castillo, R. P. (2006) An overview of adakite petrogenesis. *Chinese Science Bulletin* 51: 258–268.
- Castillo, R. P. (2012) Adakite petrogenesis. *Lithos* 134: 304–316.
- Chappell, B. W. and White, A. J. R. (1974) Two contrasting granite types. *Pacific Geology* 8: 173–174.
- Chappell, B. W. and White, A. J. R. (2001) Two contrasting granite types, 25 years later. *Australian Journal of Earth Sciences* 48: 489–500.

- Cotton, J., Le Dez, A., Bau, M., Caroff, M., Maury, R. C., Dulski, P., Fourcade, S., Bohn, M. and Brousse, R. (1995) Origin of anomalous rare_earth element and yttrium enrichments in subaerially exposed basalts, evidence from French Polynesia. *Chemical Geology* 119: 115–138.
- Defant, M. J. and Drummond, M. S. (1990) Derivation of some modern arc magmas by melting of young subducted lithosphere. *Nature* 347: 662–665.
- Frost, B. R. and Frost, C. D. (2008) A geochemical classification for feldspathic igneous rocks. *Journal of Petrology* 49: 1955–1969.
- Gao, S., Rudnick, R. L., Yuan, H. L., Liu, X. M., Liu, Y. S., Xu, W. L., Lin, W. L., Ayers, J., Wang, X. C. and Wang, Q. H. (2004) Recycling lower continental crust in the North China craton. *Nature* 432: 892–897.
- Ghaemi, F., Ghaemi, F. and Hosseini, K. (1998) Explanatory text of Neyshabour. Geological Quadrangle Map 1:100,000, No.7762, Geological Survey of Iran, Tehran.
- Ghasemi, H., Sadeghian, M., Khanalizadeh, A. and Tanha, A. (2010) Petrology, geochemistry and radiometric ages of high silica adakitic domes of Neogene continental arc, south of Quchan. *Journal of Crystallography and Mineralogy* 18: 347–368 (In Persian).
- Gill, J. B. (1981) Orogenic andesites and plate tectonics. Springer, New York.
- Gust, D. A., Arculus, R. A. and Kersting, A. B. (1997) Aspects of magma sources and processes in the Honshu arc. *The Canadian Mineralogist* 35: 347–365.
- Harangi, S., Downes, H., Thirlwall, M. and Gmeling, K. (2007) Geochemistry, petrogenesis and geodynamic relationships of Miocene Calc-alkaline volcanic rocks in the Western Carpathian Arc, Eastern Central Europe. *Journal of Petrology* 48 (12): 2261–2287.
- Helvacı, C., Ersoy, E. Y., Sözbilir, H., Erkül, F., Sümer, Ö. and Uzel B. (2009) Geochemistry and $^{40}\text{Ar}/^{39}\text{Ar}$ geochronology of Miocene volcanic rocks from the Karaburun Peninsula: Implications for amphibole-bearing lithospheric mantle source, Western Anatolia. *Journal of Volcanology and Geothermal Research* 185: 181–202.
- Hoang, N., Itoh, J. and Miyagi, I. (2011) Subduction components in Pleistocene to recent Kurile arc magmas in NE Hokkaido, Japan. *Journal of Volcanology and Geothermal Research* 200: 255–266.
- Jamshidi, K., Ghasemi, H. and Sadeghian, M. (2014) Petrology and geochemistry of the Sabzevar post-ophiolitic high silica adakitic rocks. *Petrology* 5(17): 51-68 (in Persian).
- LeMaitre, R. W., Streckeisen, A., Zanettin, B., Le Bas, M. J., Bonin, B., Bateman, P., Bellieni, G., Dudek, A., Efremova, S., Keller, J., Lamere, J., Sabine, P. A., Schmid, R., Sorensen, H. and Woolley, A. R. (2002) Igneous rocks: a classification and glossary of terms. Cambridge University Press, Cambridge.
- Machado, A. T., Chemale, Jr. F., Conceicao, R. V., Kawaskita, K., Morata, D., Oteiza, O. and Schmus, W. R. V. (2005) Modeling of subduction components in the Genesisof the Meso-Cenozoic igneous rocks from the South Shetland Arc, Antarctica. *Lithos* 82: 435-453.
- Macpherson, C. G., Dreher, S. T. and Thirlwall, M. F. (2006) Adakites without slab melting: high pressure differentiation of island arc magma, Mindanao, the Philippines. *Earth and Planetary Science Letters* 243: 581- 593.
- Martin, H. (1995) The Achaean grey gneisses and the genesis of the continental crust. In: The achaean crustal evolution (Ed. Condie, K. C.) 205-259. Elsevier, Amsterdam.
- Martin, H. (1999) The adakitic magmas: modern analogues of Achaean granitoids. *Lithos* 46(3): 411–429.
- Martin, H., Smithies, R. H., Rapp, R., Moyen, J. F. and Champion, D. (2005) An overview of adakite, tonalite-trondhjemite-granodiorite (TTTG) and sanukitoid: relationships and some implications for

- crustal evolution. *Lithos* 79:1-24.
- Middlemost, E. A. K. (1985) *Magmas and magmatic rocks*. Longman, London.
- Moyen, J. F. (2009) High Sr/Y and La/Yb ratios: The meaning of the adakitic signature. *Lithos* 112: 556-574.
- Nasrabadi, M. (2011) Genesis of unusual mineral assemblage in the trondhjemites of Soltan Abad area (NE Sabzevar): evidences of crystallization and emplacement conditions of magma. *Petrology* 2(5): 113-132 (in Persian).
- Nasrabadi, M. (2013) Petrogenesis of hornblenditic dykes from southwest Soltan Abad (NE Sabzevar). *Petrology* 4 (13): 99-117 (in Persian).
- Nicholson, K. N., Black, P. M., Hoskin, P. W. O. and Smith, I. E. M. (2004) Silicic volcanism and back-arc extension related to migration of the Late Cainozoic Australian- Pacific plate boundary. *Journal of Volcanology and Geothermal Research* 131: 295-306.
- Pearce, J. A. (1983) Role of the sub-continental lithosphere in magma genesis at active continental margins. In: *Continental basalts and mantle xenoliths* (Eds. Hawkesworth, C. J. and Norry, M. J.) 230-249, Shiva, Nantwich.
- Pearce, J. A. and Parkinson, I. J. (1993) Trace element models for mantle melting: application to volcanic arc petrogenesis. In: *Magmatic Processes in Plate Tectonics* (Eds. Prichard, H. M., Albaster, T., Harris, N. B. W. and Neary, C. R.) special publication 76: 373-403. Geological Society, London.
- Pearce, J. A., Harris, N. W. and Tindle, A. G. (1984) Trace element discrimination diagrams for the tectonic interpretation of granitic rocks. *Journal of Petrology* 25: 956-983.
- Peccerillo, A. and Taylor, S. R. (1976) Geochemistry of Eocene calc-alkaline volcanic rocks from the Kastamonu area, Northern Turkey. *Contributions to Mineralogy and Petrology* 58: 63-81.
- Peters, T. J., Menzies, M., Thirlwall, M. and Kyle, P. (2008) Zuni-Bandera volcanism, Rio Grande, USA – melt formation in garnet- and spinel facies mantle straddling the asthenosphere-lithosphere boundary. *Lithos* 102 (1-2): 295-315.
- Prouteau, G., Scaillet, B., Pichavant, M., Maury, R. (2001) Evidence for mantle metasomatism by hydrous silica melts derived from subducted oceanic crust. *Nature* 410: 197-200.
- Rapp, P. R., Shimizu, N., Norman, M. D. and Applegate, G. S. (1999) Reaction between slab-derived melt and peridotite in the mantle wedge: Experimental constrains at 3.8 GPa. *Chemical Geology* 160: 335-356.
- Rapp, R. P. and Watson, E. B. (1995) Dehydration melting of metabasalt at 8-32 kbar: implications for continental growth and crust-mantle recycling. *Journal of Petrology* 36: 891-931.
- Reagan, M. K. and Gill, J. B. (1989) Coexisting calc-alkaline and high niobium basalts from Turrialba volcano, Costa Rica: implication for residual titanites in arc magma source. *Journal of Geophysical Research* 94: 4619-4633.
- Rollinson, H. (1993) *Using geochemical data, evaluation, presentation, interpretation*. Longman, London.
- Rollinson, H. R. and Tarney, J. (2005) Adakites- the key to understanding LILE depletion in granulites. *Lithos* 79: 61-81.
- Ryerson, F. J. and Watson, E. B. (1987) Rutile saturation in magmas: implications for Ti Nb-Ta depletion in island-arc basalts. *Earth and Planetary Science Letters* 86: 225-239.
- Sahandi, M. R., Soheily, M., Sadeghi, M., Delavar, S. T. and Jafari Rad, A. (2002) Geological Quadrangle Map of Iran 1:1,000,000. Geological Survey of Iran, Tehran.
- Seghedi, I., Downes, H., Pecskay, Z., Thirlwall, M. F., Szakacs, A., Prychodko, M. and Matthey, D. (2001)

- Magmagenesis in a subduction-related post-collisional volcanic arc segment: the Ukrainian Carpathians. *Lithos* 57: 237–262.
- Shand, S. J. (1947) Eruptive rocks. Their genesis, composition, classification and their relation to ore-deposits. 3rd edition, Hafner, New York.
- Siddiqui, R. H., Asif Khan, M. and Qasim-Jan, M. (2007) Geochemistry and petrogenesis of the Miocene alkaline and sub-alkaline volcanic rocks from the Chagai arc, Baluchistan, Pakistan: Implications for porphyry Cu-Mo-Au deposits. *Journal of Himalayan Earth Sciences* 40: 1–23.
- Spies, O., Lensch, G. and Mihem, A. (1983) Chemistry of the post-ophiolitic tertiary volcanic between Sabzevar and Quchan/NE-Iran. In: Geodynamic project (geotraverse) in Iran (Ed. Almassi, A.) 247–266. Geological Survey of Iran, Tehran.
- Sun, S. S. and McDonough, W. F. (1989) Chemical and isotopy systematics of oceanic basalts: implications for mantle composition and processes. In: Magmatism in the Ocean: Basins. (Eds. Saunders, A. D. and Norry, M. J.) special publications 42: 313-345. Geological Society, London.
- Walker, J. A., Patino, L. C., Carr, M. J. and Feigenson, M. D. (2001) Slab control over HFSE depletions in central Nicaragua. *Earth and Planetary Science Letters* 192: 533–543.
- Whitney, D. L. and Evans, B. W. (2010) Abbreviations for names of rock-forming minerals. *American Mineralogist* 95: 185–187.
- Wilson, M. (2007) Igneous Petrogenesis. Springer, Verlag, Berlin.
- Wu, F. Y., Jahn, B. M., Wilde, S. A., Lo, C. H., Yui, T. F., Lin, Q., Ge, W. C. and Sun, D. Y. (2003) Highly fractionated I-type granites in China (I): geochronology and petrogenesis. *Lithos* 66: 241–273.
- Xu, J. F., Shinjo, R., Defant, M. J., Wang, Q. and Rapp, R. P. (2002) Origin of Mesozoic adakitic intrusive rocks in the Ningzhen area of east China: partial melting of delaminated lower continental crust? *Geology* 30: 1111-1114.
- Yang, W. and Li, S. (2008) Geochronology and geochemistry of the Mesozoic volcanic rocks in Western Liaoning: Implications for lithospheric thinning of the North China Craton. *Lithos* 102: 88–117.
- Zulkarnain, I. (2009) Geochemical signature of Mesozoic volcanic and granitic rocks in Madina regency area, North Sumatra, Indonesia and its tectonic implication. *Journal of Geology Indonesia* 4(2): 117–131.

Petrology, geochemistry, and tectonic setting of Tertiary volcanic and intrusive rocks in the north of Shahr-e-Firouzeh (northeast of Iran)

Azadeh Malekzadeh Shafaroudi *, Mohammad Hassan Karimpour and Arezoo Zarei
Research Center for Ore Deposit of Eastern Iran, Ferdowsi University of Mashhad, Mashhad, Iran

Abstract

The study area is located in 15 km of the north of Shahr-e-Firouzeh in Khorasan Razavi province. The area is situated in the southeast of Quchan-Sabzevar arc magmatic. Lithology of the district includes dacitic lavas, which are intruded by Oligocene porphyritic hornblende granodioritic stock and granodioritic dike as subvolcanic and plutonic rocks. Igneous rocks were overlapped by younger sedimentary rocks. The texture of dacitic unit is porphyric to glomeroporphic with flow groundmass. Quartz, plagioclase, K-feldspar, and hornblende are the main minerals. The texture of hornblende granodiorite porphyry is porphyric to glomeroporphic and plagioclase, K-feldspar, hornblende, and quartz are the common minerals, whereas granodiorite unit is granular and hornblende is not present. Based on geochemical studies, the acidic volcanic and intrusive rocks show metaluminous and medium-K nature. These rocks belong to the I-type granitoid. Enrichment of LREE versus HREE and enrichment of LILE and depletion in HFSE indicate magma formed in subduction zone. The melt originated from partial melting of amphibolite with 10 to 25% garnet. Based on the average amount of major oxides, enrichment of LREE, mostly positive Eu anomaly, high Sr (up to 499 ppm), and low Y (<13 ppm) and Yb (<1.4 ppm) contents, the magma show silica-rich adakitic nature. The intrusive and volcanic rocks of the northern Shahr-e-Firouzeh were generated by partial melting of Sabzevar Neotethyan young and hot subducted oceanic crust and mantle wedge in the continental margin of the Turan plate.

Key words: Geochemistry, I-type granitoid, Shahr-e-Firouzeh, Quchan-Sabzevar magmatic arc, Iran

* shafaroudi@um.ac.ir

Copyright©2016, University of Isfahan. This is an Open Access article distributed under the terms of the Creative Commons Attribution License (<http://creativecommons.org/licenses/BY-NC-ND/4.0>), which permits others to download this work and share it with others as long as they credit it, but they cannot change it in any way or use it commercially.